

УДК 624.07:534.1

© 2001 г. А.Л. БЫКОВ, А.В. МЕЛЬНИЧНОВ, В.А. ПАВЛОВ

## МОДЕЛИРОВАНИЕ ДВИЖЕНИЯ РОТОРНОЙ СИСТЕМЫ СПАСЕНИЯ ПРИ ВЫПУСКЕ ЛОПАСТЕЙ

Перспективным способом возвращения отработанных ступеней ракетносителей и капсул с экипажем является применение роторов. Данная работа посвящена исследованиям движения одного из таких устройств при выпуске лопастей. Разработана математическая модель движения, с помощью которой проведены численные исследования. Результаты расчетов представлены в виде графических зависимостей.

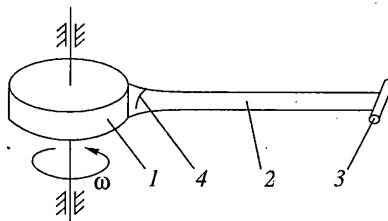
Снижение расходов на эксплуатацию космических летательных аппаратов является актуальным вопросом современности. Повторное использование отработавших ступеней ракетносителей, управляемый спуск капсул с экипажем, их точное приземление способны значительно снизить себестоимость освоения космического пространства.

В настоящее время для этих целей применяются парашютные системы спасения и гиперзвуковые летательные аппараты. Альтернативой этим способам являются роторные тормозные устройства. Известно, что в весовом отношении они могут конкурировать с парашютными системами [1], а многочисленные исследования показали их техническую осуществимость. Однако до настоящего времени эти устройства не нашли применения, поскольку обладают значительными габаритами и сложны в применении.

В 1972 г. в США разработана роторная система с гибкими лопастями [2], в которой каждая лопасть принудительно сворачивалась на отдельный барабан при помощи специальных двигателей, редукторов и трансмиссий. Благодаря такому решению значительно уменьшены габариты несущего винта в сложенном состоянии, однако масса вспомогательных агрегатов оказалась велика.

Принципиально новая роторная система с убираемыми эластичными лопастями разработана в [3, 4]. В ней уборка лопастей осуществляется за счет кинетической энергии вращения ротора (фиг. 1, где 1 – барабан намотки, 2 – эластичная лопасть, 3 – концевой груз, 4 – место перегиба лопасти).

Настоящая работа посвящена изучению выпуска лопастей этой роторной системы, которая представлена одной невесомой, нерастяжимой, абсолютно гибкой нитью с материальной точкой  $M$  массы  $m_M$  на конце и барабаном намотки. Рассматривается плоское движение. Ось вращения барабана неподвижна и является осью его динамической симметрии.



Фиг. 1

Чтобы развернуть лопасти и установить их в радиальных направлениях, роторной системе необходимо сообщить дополнительную энергию движения. Считается, что к материальной точке  $M$  приложена сила  $P$ , перпендикулярная лопасти и направленная как показано на фиг. 2.

Разделим процесс выпуска лопастей на три этапа. Первый и третий этапы (фиг. 2,  $a, c$ ) протекают при изменении длины не накрученной на барабан части нити  $S$ . Третий этап наступает, когда нить, пройдя положения, соответствующие второму этапу, наворачивается в противоположную сторону. На втором этапе (фиг. 2,  $b$ ) величина  $S$  постоянна и равна  $L$ , меняется лишь положение нити относительно барабана ( $L$  — длина полностью развернутой нити).

Зададимся неподвижной системой координат  $O\xi\eta$ , связанной со спускаемым аппаратом, и подвижными осями  $O_1xy$ . Начало подвижных координат лежит в точке касания (на втором этапе — в точке крепления) нити к барабану, так, что ось  $x$  направлена по нити, а  $y$  перпендикулярна ей (фиг. 2).

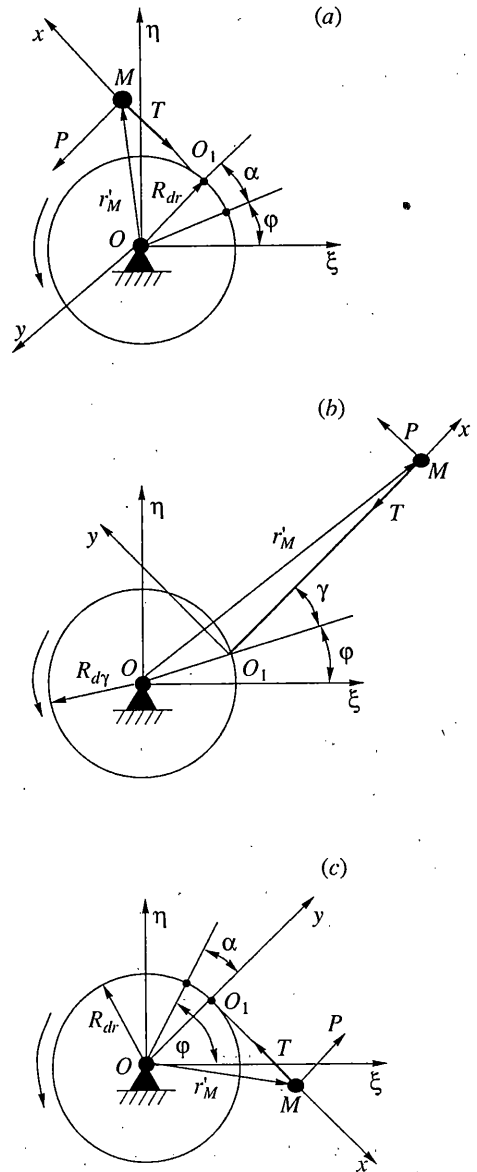
Для определения конфигурации роторной системы в любой момент времени введем обобщенные координаты  $\varphi$  и  $\gamma$ . Величина  $\varphi$  задает угол поворота барабана относительно инерциальных осей  $O\xi\eta$ ,  $\gamma$  задает отклонение нити от радиального направления. Для большей наглядности, при рассмотрении первого и третьего этапов, в математическую модель введем угол  $\alpha$  — угол намотки нити на барабан:  $\alpha > 0$  на первом этапе,  $\alpha < 0$  на третьем этапе. Связь между  $\alpha$  и  $\gamma$  выглядит так:  $\gamma = \alpha + \frac{1}{2}\pi \operatorname{sgn} \alpha$ , где  $\operatorname{sgn} \alpha = 1$  на первом этапе разворачивания, а  $\operatorname{sgn} \alpha = -1$  — на третьем. Для первого и третьего этапов можно записать  $S = L - R_{dr}|\alpha|$ .

На первом этапе выпуска лопастей радиус-вектор материальной точки  $M$  в проекциях на оси  $O_1xy$  запишется  $\mathbf{r}'_M = S\mathbf{i} - R_{dr}\mathbf{j}$ , где  $R_{dr}$  — радиус барабана намотки,  $\mathbf{i}$  и  $\mathbf{j}$  — единичные векторы системы координат  $O_1xy$ .

Согласно [5], производная вектора  $\mathbf{a}$ , заданного проекциями на оси подвижной системы координат, равна

$$\dot{\mathbf{a}} = \mathbf{V}_0 + \boldsymbol{\omega} \times \mathbf{a} + \dot{\mathbf{a}} \quad (1)$$

где  $\mathbf{V}_0$  — скорость движения начала подвижной системы координат относительно инерциальных осей;  $\boldsymbol{\omega}$  — угловая скорость вращения подвижных осей;  $\dot{\mathbf{a}}$  — производная



Фиг. 2

по времени от вектора  $\mathbf{a}$  в подвижной системе координат. Тогда выражение скорости точки  $M$  в векторной форме имеет вид:

$$\mathbf{V}_M = \dot{\varphi} R_{dr} \mathbf{i} + (\dot{\varphi} + \dot{\alpha}) S \mathbf{j},$$

где  $\dot{\varphi}$  и  $\dot{\alpha}$  – соответственно, угловые скорости вращения барабана и осей  $O_1x$  относительно барабана.

Применяя правило (1) к последнему соотношению, получим вектор ускорения материальной точки  $M$  в проекциях на подвижные оси

$$\mathbf{a}_M = [\ddot{\varphi} R_{dr} - (\dot{\varphi} + \dot{\alpha})^2 S] \mathbf{i} + [(\ddot{\varphi} + \ddot{\alpha}) S + (\dot{\varphi}^2 - \dot{\alpha}^2) R_{dr}] \mathbf{j} \quad (2)$$

здесь  $\ddot{\varphi}$  – угловое ускорение барабана, а  $\ddot{\alpha}$  – угловое ускорение лопасти относительно барабана.

Второй закон Ньютона для материальной точки  $M$  в векторной форме запишется следующим выражением:  $m_M \mathbf{a}_M = \mathbf{P} + \mathbf{T}$ , где  $\mathbf{T}$  – вектор натяжения в нити (см. фиг. 2). Записав проекции этого соотношения на оси подвижной системы координат, получим два дифференциальных уравнения второго порядка

$$m_M [\ddot{\varphi} R_{dr} - (\dot{\varphi} + \dot{\alpha})^2 S] = -T \quad (3)$$

$$m_M [(\ddot{\varphi} + \ddot{\alpha}) S + (\dot{\varphi}^2 - \dot{\alpha}^2) R_{dr}] = P$$

Первое соотношение позволяет нам определить натяжение в нити. Разрешив второе выражение относительно обобщенного ускорения  $\ddot{\alpha}$ , получим одно из двух уравнений, описывающих движение роторной системы на первом этапе выпуска лопастей:

$$\ddot{\alpha} = \frac{P / m_M + (\dot{\alpha}^2 - \dot{\varphi}^2) R_{dr}}{S} - \ddot{\varphi} \quad (4)$$

Другое соотношение найдем из уравнения вращения барабана, которое для первого этапа выпуска лопастей имеет вид

$$\ddot{\varphi} J_{dr} = T R_{dr} \quad (5)$$

где  $J_{dr}$  – момент инерции барабана относительно оси вращения. Подставляя в это соотношение выражение натяжения в нити, получим следующее уравнение:

$$\ddot{\varphi} J_{dr} = m_M (\dot{\varphi} + \dot{\alpha})^2 S R_{dr} - m_M \ddot{\varphi} R_{dr}^2$$

и разрешим его относительно обобщенного ускорения барабана. В результате получим второе дифференциальное уравнение движения:

$$\ddot{\varphi} = \frac{m_M (\dot{\varphi} + \dot{\alpha})^2 S R_{dr}}{J_{dr} + m_M R_{dr}^2} \quad (6)$$

Таким образом, для первого этапа выпуска лопастей имеем систему из двух дифференциальных уравнений (4) и (6).

Как только при интегрировании этих уравнений величина  $S$  увеличивается настолько, что  $|S - L| < \varepsilon$ , где  $\varepsilon$  – малая величина, начинается второй этап выпуска лопастей. Запишем для него уравнения движения.

Радиус-вектор материальной точки  $M$  в проекциях на оси подвижной системы координат (см. фиг. 2, в) на втором этапе выпуска лопастей определяется выражением вида:

$$\mathbf{r}'_M = [L + R_{dr} \cos \gamma] \mathbf{i} - [R_{dr} \sin \gamma] \mathbf{j}$$

Согласно правилу (1), скорость движения точки  $M$  равна

$$\mathbf{V}_M = [\dot{\phi}R_{dr} \sin \gamma] \mathbf{i} + [L(\dot{\phi} + \dot{\gamma}) + \dot{\phi}R_{dr} \cos \gamma] \mathbf{j}$$

ускорение этой точки будет

$$\mathbf{a}_M = [\ddot{\phi}R_{dr} \sin \gamma - L(\ddot{\phi} + \ddot{\gamma}) - \dot{\phi}^2 R_{dr} \cos \gamma] \mathbf{i} + [L(\ddot{\phi} + \ddot{\gamma}) + \ddot{\phi}R_{dr} \cos \gamma + R_{dr} \sin \gamma \dot{\phi}^2] \mathbf{j}$$

Записав второй закон Ньютона для материальной точки  $M$  на втором этапе разворачивания и спроектировав его на оси  $O_1xy$ , получим соотношения

$$m_M[\ddot{\phi}R_{dr} \sin \gamma - (\ddot{\phi} + \ddot{\gamma})L - \dot{\phi}^2 R_{dr} \cos \gamma] = -T \quad (7)$$

$$m_M[(\ddot{\phi} + \ddot{\gamma})L + \ddot{\phi}R_{dr} \cos \gamma + \dot{\phi}^2 R_{dr} \sin \gamma] = P$$

Первое уравнение позволяет определить натяжение в нити на втором этапе. Из второго, разрешив его относительно обобщенного ускорения  $\ddot{\gamma}$ , получим

$$\ddot{\gamma} = \frac{P/m_M - \ddot{\phi}(L + R_{dr} \cos \gamma) - \dot{\phi}^2 R_{dr} \sin \gamma}{L} \quad (8)$$

Уравнение вращения барабана имеет вид  $\ddot{\phi}J_{dr} = TR_{dr} \sin \gamma$ . Подставим формулу натяжения нити в последнее соотношение и выразим обобщенное угловое ускорение барабана через остальные компоненты. Недостающее уравнение движения роторной системы на втором этапе выпуска лопастей таково:

$$\ddot{\phi} = \frac{m_M R_{dr} \sin \gamma [L(\dot{\phi} + \dot{\gamma})^2 + \dot{\phi}^2 R_{dr} \cos \gamma]}{J_{dr} + m_M R_{dr}^2 \sin^2 \gamma} \quad (9)$$

Система уравнений (8) и (9), определяет движение роторной системы на втором этапе выпуска лопастей.

Запишем уравнения движения для третьего этапа. Согласно фиг. 2, с радиус-вектор материальной точки  $M$  в проекциях на оси  $O_1xy$  имеет вид

$$\mathbf{r}'_M = S \mathbf{i} + R_{dr} \mathbf{j}$$

Тогда скорость движения этой точки такова  $\mathbf{V}_M = -R_{dr} \dot{\phi} \mathbf{i} + S(\dot{\phi} + \dot{\alpha}) \mathbf{j}$ .

Ускорение точки  $M$  определяется выражением вида

$$\mathbf{a}_M = -[R_{dr} \ddot{\phi} + S(\dot{\phi} + \dot{\alpha})^2] \mathbf{i} + [R_{dr}(\dot{\alpha}^2 - \dot{\phi}^2) + S(\ddot{\phi} + \ddot{\alpha})] \mathbf{j}$$

Как и для первых двух этапов запишем в проекциях соотношения второго закона Ньютона для материальной точки  $M$  на оси связанной с нитью системы координат. Получим два уравнения: первое

$$T = m_M [R_{dr} \ddot{\phi} + S(\dot{\phi} + \dot{\alpha})^2] \quad (10)$$

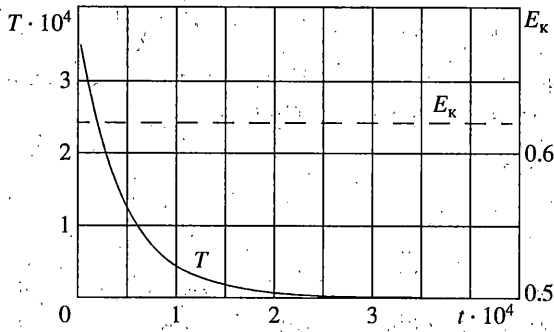
определяющее натяжение в нити, и второе

$$m_M [R_{dr}(\dot{\alpha}^2 - \dot{\phi}^2) + S(\ddot{\phi} + \ddot{\alpha})] = P$$

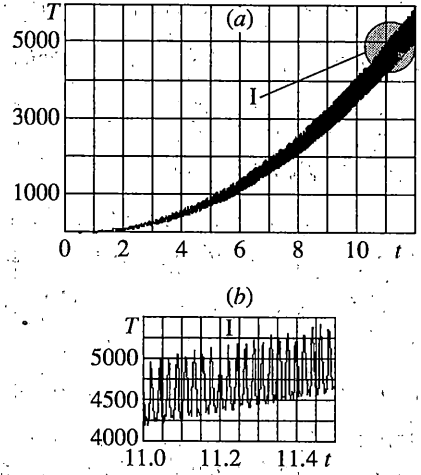
Выразим из последнего соотношения величину  $\ddot{\alpha}$ :

$$\ddot{\alpha} = \frac{P/m_M + (\dot{\phi}^2 - \dot{\alpha}^2)R_{dr}}{S} - \ddot{\phi} \quad (11)$$

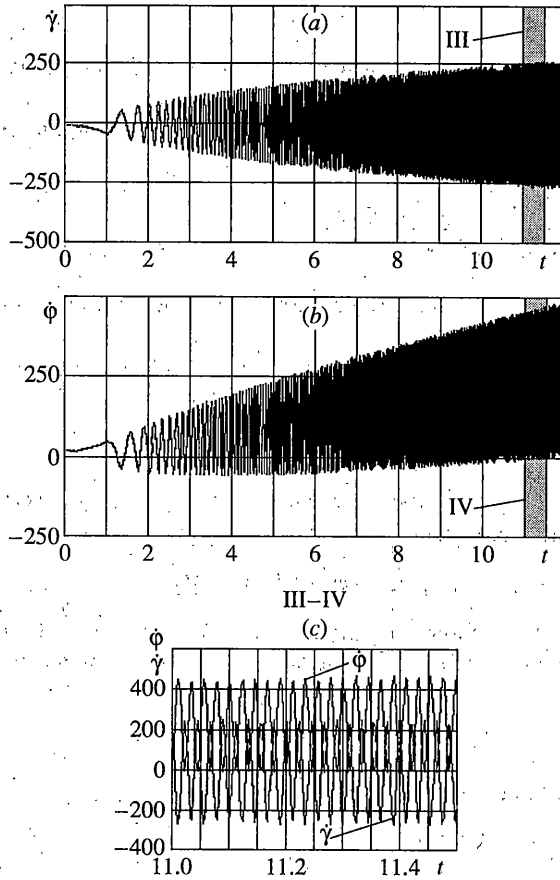
Воспользовавшись уравнением движения барабана на третьем этапе  $\ddot{\phi}J_{dr} = -TR_{dr}$ ,



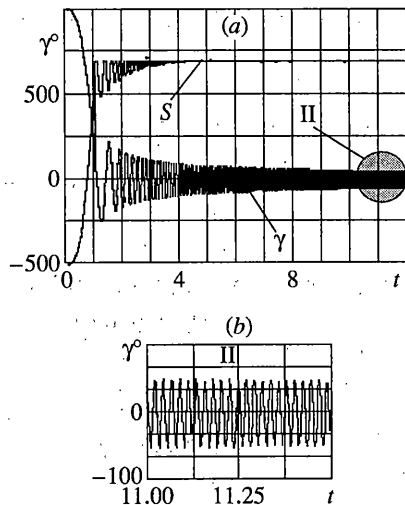
Фиг. 3



Фиг. 4



Фиг. 5



Фиг. 6

найдем второе уравнение движения роторной системы:

$$\ddot{\phi} = -\frac{m_M(\dot{\phi} + \dot{\alpha})^2 SR_{dr}}{J_{dr} + m_M R_{dr}^2} \quad (12)$$

Выше разработана математическая модель, состоящая из трех систем дифференциальных уравнений второго порядка (4) и (6); (8) и (9); (11) и (12), описывающих движение материальной системы при разворачивании нити.

По этой математической модели проведены численные исследования разворачивания лопастей при следующих параметрах роторной системы:  $R_{dr} = 0.05$  м,  $m_M = 0.1$  кг,  $J_{dr} = 0.057$  кг · м<sup>2</sup>,  $L = 0.8$  м. В начальный момент времени  $\phi = 20$  рад/с,  $\dot{\alpha} = 0$  рад/с. Начальная величина  $S$ , при которой начинается интегрирование уравнений движения —  $S = 10^{-4}$  м.

Интегрирование систем уравнений по времени проводилось методом Рунге — Кутты четвертого порядка [6]. Подбор величины шага интегрирования осуществлялся методом двойного счета [7].

Разработанная математическая модель справедлива лишь когда в нити присутствует натяжение, поэтому при исследованиях выпуска лопастей с помощью выражения (3), (7) и (10) проверялось выполнение этого условия — вычисления прекращались при  $T < 10^{-4}$  Н.

Численные исследования показали, что при  $0 \leq P < 0.0463$  Н на первом этапе происходит уменьшение натяжения до значения меньше  $10^{-4}$  Н: на фиг. 3 приведены зависимости изменения  $T$  [Н] и кинетической энергии системы  $E_k$  [Дж] по времени  $t$  [с] при  $P = 0$ .

На этом этапе, согласно (5), на барабан действует разгоняющий момент, следовательно  $\ddot{\phi} > 0$ . При этом по (4)  $\dot{\alpha} < 0$  и величина этой угловой скорости по модулю растет быстрее  $\dot{\phi}$  (так как ускорение  $\ddot{\alpha}$  обратно пропорционально  $S$ ), поэтому в течение первого этапа  $|\dot{\alpha}| \rightarrow |\dot{\phi}|$ , следовательно  $(\dot{\phi} + \dot{\alpha}) \rightarrow 0$  и  $T \rightarrow 0$ .

Сила  $P$  препятствует увеличению  $|\dot{\alpha}|$ , однако при большей ее величине разворачивание невозможно. Так как в начальный момент  $\dot{\alpha} = 0$ , то выражение для центростремительной силы, действующей на груз, имеет вид:

$$F_M = m_M \dot{\phi}^2 \sqrt{R_{dr}^2 + S^2}$$

а потребное для разворачивания значение  $P$  определяется из условия

$$P < m_M \dot{\phi}^2 \sqrt{R_{dr}^2 + S^2}$$

В противном случае  $P$  прижимает грузик к барабану намотки и разворачивания лопасти не происходит.

Выпуск лопасти начинается при  $S = 10^{-4}$  м, поэтому величина внешней силы лежит в пределах  $0.0463 \leq P \leq 2$  Н. При этом условии натяжение в нити увеличивается на протяжении всего процесса разворачивания фиг. 4, а, в.

Как показано на фиг. 5, где представлены функции  $\phi(t)$  и  $\dot{\gamma}(t)$ , при выпуске лопасти растет частота ее колебаний относительно барабана. Согласно фиг. 5, в эти величины изменяются в противофазе друг к другу.

При воздействии силы  $P$  лопасть разворачивается и устанавливается в радиальном направлении, это видно на фиг. 6, где показано изменение по времени угла  $\gamma$  (S[М]). Таким образом, в настоящей работе доказана принципиальная возможность выпуска лопастей в роторной системе рассматриваемого типа.

#### СПИСОК ЛИТЕРАТУРЫ

1. Роторные системы для спуска и посадки космических летательных аппаратов, возвращения отработавших ступеней ракет и десантирования грузов. По материалам иностранной печати за 1960–1967 гг. // ЦАГИ. Обзоры. 1968. № 258. 37 с.
2. Патент США № 3637168, кл. В64С27/33, 1972.
3. Пат. 2005655 СССР, МКИ В64С11/20. Несущий винт ЛА с гибкими убирающимися лопастями / Павлов В.А., Привалов Л.В., Рыбаков А.В. / Б.И. 1994. № 1.
4. Павлов В.А., Быков А.Л. Сворачивание лопасти на тело, обладающее инерцией // Изв. РАН. МТТ. 1997. № 5. С. 185–195.
5. Лурье А.И. Аналитическая механика. М.: Физматгиз, 1961. 824 с.
6. Корн Г.; Корн Т. Справочник по математике для научных работников и инженеров. М.: Наука, 1978. 832 с.
7. Левшиц В.М., Литвин Б.Ф. Приближенные вычисления и программирование на ЭВМ "Наири-2". Л.: Машиностроение, 1977. 240 с.

Казань

Поступила в редакцию  
10.11.1999